

(18) 繊密なウスタイトの水素還元挙動におよぼす SiO_2 および Al_2O_3 添加の影響

鉄鋼短大

○重松 信一, (工博) 岩井 孝哉

緒言: 繊密なウスタイトの水素還元挙動に関する調査の一環として、鉄鉱石の主要な脈石成分である SiO_2 と Al_2O_3 を同時に添加したウスタイトの還元挙動を調査し、これらの添加物の影響を検討した。

実験方法: 実験方法は前報^{2~4)}と同じである。今回用いた試料は SiO_2 のみを 0.1, 0.2% 添加した FeO , 0.5% の SiO_2 と共に 0.5, 1, 5% の Al_2O_3 を含む FeO , 0.5% の Al_2O_3 と共に SiO_2 を 0.1, 0.2, 5% 含む FeO , および 5% の SiO_2 と共に 5% の Al_2O_3 を含む FeO で、いずれも繊密な板状 ($1\text{cm} \times 1\text{cm} \times 0.15\text{cm}$) のものである。酸素ボンテンシャルを調整したのち、水素ガスにて定温 ($670, 730, 800, 890, 930^\circ\text{C}$) で還元し、この間の減量を電気天秤にて測定した。また還元を途中で中断させた試料の断面の観察を行った。

実験結果: 還元減量を還元時間の平方根に対してプロットしたところ、前報^{1~4)}と同様にいずれも中期で長い区間にわたって直線となつたので、この直線部分の勾配 ($k_2 / \text{kg} \cdot \text{m}^{-2} \cdot \text{s}^{-\frac{1}{2}}$) を比較することにより還元速度の比較を行つた。0.5% の Al_2O_3 と共に SiO_2 を添加した場合の k_2 値と SiO_2 添加量の関係を Fig. 1. に示す。0.5% の Al_2O_3 添加により、 k_2 値は純粋ウスタイトの場合¹⁾ に比べて特に低温部で大目に低下する³⁾が、これに SiO_2 を添加すると添加量が増すにつれて k_2 値が大きくなり、800°C 以上の高温部では 0.5~5% SiO_2 の範囲で SiO_2 のみを同量添加した場合の k_2 値にほぼ等しい値にまで上昇する。このように高温部では Al_2O_3 の影響が SiO_2 に打ち消されて SiO_2 のみの作用を受けていふように見受けられるが、低温部では 670°C の場合の k_2 値が 0.5% SiO_2 まで添加量の増加と共に上昇するのにに対し、730°C の場合は 0.2% SiO_2 をピークに低下するため、0.5~5% SiO_2 の範囲では 730°C 付近における還元が最も遅くなり、いわゆる Rate minimum 現象が見られ、 SiO_2 のみを添加した場合の挙動とは異なる。Fig. 2. は 0.5% の SiO_2 と共に Al_2O_3 を添加した場合の k_2 値と Al_2O_3 添加量の関係を示したものである。0.5% SiO_2 添加により、 k_2 値は純粋ウスタイトの場合¹⁾ にくらべて 800°C 以上の高温部で大目に増大するが、低温部では逆に大目に小さな値となり、温度依存性が不連続になる²⁾。これに Al_2O_3 を添加すると、高温部の k_2 値には殆ど変化が見られないが、低温部の値が大目に増大し、1% 以上の Al_2O_3 添加で温度依存性の不連続が解消する。この場合、低温部の k_2 値の増加中は Al_2O_3 のみを添加した場合に見られる $\text{FeO} \cdot \text{Al}_2\text{O}_3$ 析出量の増加に伴う k_2 値の増加よりはるかに大きいことがわかった。

文献: 1). 岩井, 重松: 学振54卷-1477

2). 重松, 岩井: 鉄と鋼, 68 (1982) S 829

3). 重松, 岩井: 鉄と鋼, 69 (1983) S 759

4). 重松, 岩井: 鉄と鋼, 70 (1984) S 831

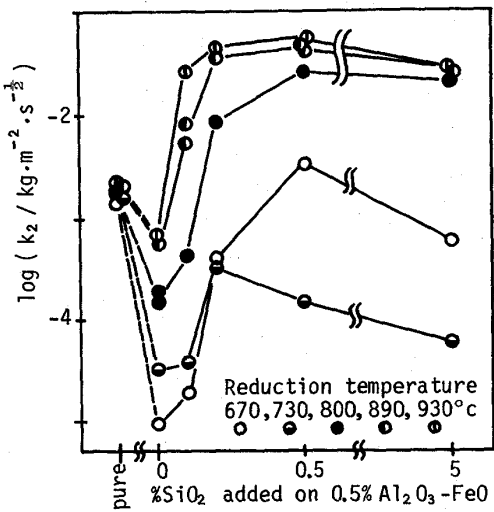


Fig. 1. Plots of the values of $\log k_2$ vs. the concentration of SiO_2 added for wustite containing 0.5% Al_2O_3 and 0-5% SiO_2 .

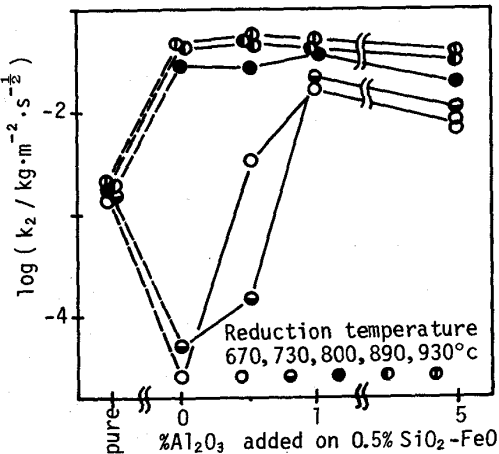


Fig. 2. Plots of the values of $\log k_2$ vs. the concentration of Al_2O_3 added for wustite containing 0.5% SiO_2 and 0-5% Al_2O_3 .